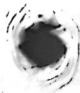


TaO



Talp(z)
2991

Kiess. C. C.

1934

Stowell E. L.

M.H.
Cervidae

J. Res. MBS,
1934, 12, p459

Talp (ray)

I



err. H.

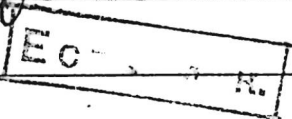
189 - 112050] 1949

TaO (D)

Fernando T. Krishnamurti S.G.,
Current Sci., 1949, 18, N10, 371



10



$r_e/(Ta_4O)$, (TaO) , (TaO_2) /

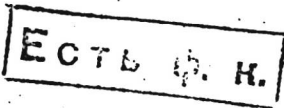
VII 720 1954

Schonberg N.

Acta chem. scand., 1954, 8, N2, 240-45.

An X-ray investigation of the tantalum-oxygen system.

RX., 1955, N10, 18192 Ml



VII - 5741

TaO

Premaswarup, Nature, 175, 1003

1955

Anaux bo-
ndas. n. type.

Indian J. Phys., 29, 109

Anaux bo-
ndas. n. type.
Anaux bo-
ndas. n. type.
Anaux bo-
ndas. n. type.
Anaux bo-
ndas. n. type. $X^2\Sigma$ Ξ $2P_{3/2}$ $B_0 = 0,3434 \quad 0,3205 \quad 0,3156$ $Z_0 = 1,827 \quad 1,891 \quad Z_c = 1,900, B_p = 0,378$

Tao

D. Premaswarup

1955

Indian J. Phys., 29, J3, 109-120.

1955/11/11

Vacuum space wave theory
formulae.

3400-5000 Å. Угловые-углы между
тремя точками с расстоянием \approx между
точками. Дополнительные.

Plut

1956 June 10

5-10 Å/mm.

20757

" previous 21 ft 30000 imp/psq cm
measured 5.6 Å/mm

Высчитано 2 числа пояс

A (уровень) 0,0 пояса 26678,9 $j^{\prime}=5, j^{\prime\prime}=3$

C (высшая осн.) 0,0 пояса 23348,1 $j^{\prime}=j^{\prime\prime}=3$

Обе цифры имеют одинаковую погрешность

Для симметричного соединения

$W_E = 1040,0$, $x_{EW} = 8,5 \text{ см.}$

Для верхних соединений цифры

A : $w_E = 901,4$ и $x_{EW} = 4,0 \text{ см.}$

C : $w_E = 718,6$ и $x_{EW} = 2,2 \cdot \text{см.}$

VII - 5740

1955

Tad (W_e , $W_e X_e$)

Premaswarup D.,

Current Sci., 1955, 24, 45

Ms

PNEK, 1955, 45272

VII - 5742

1955

Tal (Bo, ro, 2)

Premaswarup ♂;

Nature, 1955, 175, n° 4466, 1003

III

Phuk, 1955, 48291

TaO

Cntrsp.

Gatterer A., Junkes J.,

Salpeter E.W.

Mol. Spectra of Metallic
Oxides (1957) Specola Vaticana

1957

TaO

D. Premaswarup, R.F. Barrow

1957

Nature 180, 602-3.

111-54413

Braze. analysis below TaO.

A uC sample was cut up 24064 u 23348

$C^2\Delta$: $\omega_e = 903,01$; $\omega_{eK} = 4,15$; $B_e = 0,3775$,
 $d_e = 0,0019$; $z_e = 1,7438$.

CA, 52

$b^2\pi$; $\omega_e = 898,5$; 896,0; $\omega_{eK} = 4,1 \text{ cm}^{-1}$

$\omega_e = 0,3772$; $d_e = 0,0019$; $z_e = 1,7448$.

$$\underline{\underline{a_D^2}} = \omega_c = 1031,7 \quad \omega_{KC} = 5, \quad B_e = 0,4029, \quad \alpha_e = 0,0020$$

$$z_e = 1,687 \text{ \AA}$$

TaO
4644

Walsh P.N., Goldstein H.W.,
White D.,

Do

J. Amer. Ceram. Soc.,
1960, 43, 229
P

key 129



Do (TaO)

TaO, TaO₂ VII-1022 1969

HfO
WO, WO₂
Ta₂O₅, Ta₃O₈
Ta₂O₅, Ta₃O₈

Spectroscopy of transition-metal oxides in neon and argon matrixes at 4 and 20°K. William Weltner, Jr. (Union Carbide Res. Inst., Tarrytown, N.Y.). NASA Accession No. N65-14648, Rept. No. AD 451711. Avail. CFSTI, 3 pp.(1964)(Eng). The TaO, TaO₂, HfO, WO, WO₂, and higher oxides of W were observed spectroscopically in Ne and Ar matrixes... A discussion of TaO and TaO₂ illustrates the information obtained. From *Sci. Tech. Aerospace Rept.* 3(5), 720(1965). TCSL

Snuf

+5

C.A. 1965. 63.13
17321 a

X

VII-24/76

1965

TaO

16 Б111. Спектроскопия TaO и TaO₂ в неоновой и аргоновой матрицах при 4 и 20° К. Weltner William, Jr., Mc Leod Donald, Jr. Spectroscopy of TaO and TaO₂ in neon and argon matrices at 4° and 20° K. «J. Chem. Phys.», 1965, 42, № 3, 882—891 (англ.)

Получены спектры поглощения в ИК-, видимой в ближней УФ-области TaO и TaO₂, изолированных в неоновой и аргоновой матрицах, при т-рах 4 и 20° К. В спектре TaO наблюдаются 3 перехода: 4273 ($b^2\pi_{1/2}$ — $a^2\Delta_{3/2}$), 4141 ($d^2\Phi_{1/2}$ — $a^2\Delta_{3/2}$) и 3737 А ($c^2\Delta_{3/2}$ — $a^2\Delta_{3/2}$) (в неоновой матрице); O—O-переход установлен с помощью изотопич. замещения (O^{16} на O^{18}); основное состояние $^2\Delta_g$. В спектре TaO₂ обнаружены 2 электронных перехода: 8607 и 6159 А. Колебательные частоты этих соединений: TaO 1020, TaO₂ 971 и 912 см⁻¹, что указывает на нелинейность TaO₂.

А. Бобров

X. 1966. 16

21

TaO

M.M.

112504g Rotational analysis of electronic bands of gaseous TaO. C. J. Cheetham and R. F. Barrow (Oxford Univ., Oxford, Engl.). *Trans. Faraday Soc.* 63(8), 1835-45(1967)(Eng). The rotational analysis of a no. of bands in the emission spectrum of the arc in air between Ta rods in the region 2740-9500 Å. has been completed. In all, 19 different electronic states, or sub-states, have been characterized; perturbations indicate the presence of others. Comparison with the absorption spectrum of matrix isolated TaO shows that the ground state X_1 of TaO has $\Omega = 3/2$. X_1 is the lower state of many of the emission bands. A second lower state X_2 with $\Omega = 5/2$ lies at 3505 cm.^{-1} above X_1 . If case a is followed, ground state of TaO is therefore $^3\Delta$ with consts. (cm.^{-1}) as follows:

	B_e	$10^3 \alpha_e$	ω_e	$X_e \omega_e$	$r_e, \text{ Å.}$
X_2	$^3\Delta_{5/2}$	0.40358	1.87	1030.81	3.59 1.6859
X_1	$^3\Delta_{3/2}$	0.40288	1.82	1028.69	3.51 1.6874

A few bands with $\Delta\Delta$ or $\Delta\Omega = \pm 1$ in this spectrum have upper and lower states numbered by integral, rather than half-integral, values of J . These bands do not appear in the Ta arc in N, and it is suggested that they arise from a transition in TaO^+ .

RCTD

C. A. 1967 - 07.24

1967
69

3680-VII
69

БР - 3680 - VII

1967

TaO

69

16 Б268. Вращательный анализ электронных полос
газообразного TaO. Cheetham C. J., Wagstaff R. F.
Rotational analysis of electronic bands of gaseous TaO.
«Trans. Faraday Soc.», 1967, 63, № 8, 1835—1845 (англ.)

Проведен вращательный анализ спектра испускания дуги тантала в воздухе в области 2740—9500 Å. Охарактеризовано 19 различных электронных состояний. Сравнение со спектром поглощения изолированного TaO показывает, что основное состояние $\Omega = \frac{3}{2}$. Следующее состояние X_2 имеет $\Omega = \frac{5}{2}$ и расположено на 3505 cm^{-1} выше X_1 . Несколько полос с $\Delta\Lambda$ или $\Delta\Omega = \pm 1$ в этом спектре имеют состояния, нумерующиеся целыми, а не полуцелыми значениями I . Эти полосы не появляются в дуге Та в азоте, поэтому предполагается, что они принадлежат переходам в TaO^+ .

Автореферат

Х. 1988 .16

B9P - 3680 - VII

1967

TaO

69

]) 5 Д247. Вращательный анализ электронных полос газообразного TaO. Cheetham C. J., Vagrow R. E. Rotational analysis of electronic bands of gaseous TaO. «Trans. Faraday Soc.», 1967, 63, № 8, 1835—1845 (англ.)

Произведен вращательный анализ эмиссионного спектра TaO (дуги между прутьями Ta) в области 2740—9500 Å. Произведено отождествление 19 различных электронных состояний. Наличие возмущений указывает на присутствие других состояний. Сравнение со спектрами поглощения TaO в матрицах показывает, что основным состоянием X_1 TaO является $\Omega=3/2$, причем X_1 — нижнее состояние большинства эмиссионных полос.

Резюме

49.1968. 52

VII-24.76

1965

TaOTaO₂

✓ 12 Д208. Спектроскопия молекул TaO и TaO₂ в среде из Ne и Ar при температуре 4 и 20° К. Wellinger William, Jr., McLeod Donald, Jr. Spectroscopy of TaO and TaO₂ in neon and argon matrices at 4° and 20° K. «J. Chem. Phys.», 1965, 42, № 3, 882—891 (англ.)

Изучались спектры молекул TaO и TaO₂ в ИК-, видимой и близкой УФ-областях. Молекулы получались испарением из Ta₂O₅ при 2270° К в среде из Ne и Ar. Изучен спектр поглощения TaO в среде из Ne при 4° К и в среде из Ar при 20° К, а также рассмотрен спектр поглощения TaO₂ в среде из Ne при 4° К.

ф. 1965.

1287

TsO K. Douglas Carlson and
Carl Morer. 1966

J. Chem. Phys., 44(3), 3259-65.

Electronic ground state and
wave functions for vanadium
monoxide.

1 Am Vol

1907

Ta - 0

Андреевский С. И.,
Лебединск Т.Р., лист Г.В.

№. ксогран. земли, 12,
№, 1738.

Из смешанных почвенных
карбидов и мусчих оши-
лов V, № и Ta

(ал. V-0) III

TaO

1969

D^o, D^o₂₉₈

Spacey.
Kaleidos.

Nocturnal.

Leo Deacon, Good Bookshelf.

Man in High Competition.

3500-3-03.

Ode to Space 1969

Tab (2)

~~Rosen~~

Rosen B. 1970

4453

M.N.

Chemical

Tables internationales de constantes
selectionnées. 17. données spectroscopi-
ques relatives aux molécules diatomiques.
/ Ed. B. Rosen. Oxford etc.:
Ell. Pergamon Press, 1970.

Ell. 1189 irren 1190

(10.411)

ff. 01

Tab (2a)

10

ver. 11,

O-Ta

OTT 4824

1975

Kerr J. A., et al.

(D)

HawleBook Chelli, Phys.,
55th Ed., 1974-75,

Та 0

Чурбек А. В., Горохов А. Н. 1976
Чурбек А. В., Енисиевчев А. Н.
Отчет по научно-иссл. работе
"Масс-спектрометрическое
определение энергий диссоци-
ативных окислов переходных
элементов," 1976, № 51/76

Coll. Harry Drowart. cat. n 2

60426.5

40891

TC, Ch

TaO

(do)

1976

*us-12669

Snoes S., Drowart J., Myers G.E.
Determination of the atomization energies
of the molecules TaO(g) and TaO₂(g) by
the mass-spectrometric Knudsen-cell
method. "J. Chem. Thermodyn.", 1976, 8,
N 3, 225-239 (англ.) (если TaO, T)

576 579 603 0611 nm ВИНИТИ

Tao

Llavea. Karp. y Bevis) 1978.

Bevis H.B., Zupke J.B.

"Doomesaceus mesopho-
enous. 1800 m. v. 1978 no
Crestrockon. Copper,
1978. Y. I." M., 1978,
194-220

(cont. TiO₂; III)

TaO

annexe 19697

1980

94: 55052q The magnetic circular dichroism spectrum of matrix-isolated tantalum oxide (TaO). Brittain, Robert; Powell, David; Kreglewski, Marek; Vala, Martin (Dep. Chem., Univ. Florida, Gainesville, FL 32611 USA). *Chem. Phys.* 1980, 54(1), 71-S (Eng). TaO was matrix-isolated in an Ar matrix at 14 K and 24 K and studied spectroscopically in the visible region (300-850 nm). Both absorption and magnetic CID (MCD) spectra were recorded and analyzed. A detn. of the total angular momentum quantum nos. (Ω) for 14 excited electronic states was made. The g factors for the ground $^2\Delta_{3/2}$ and excited $^2\Phi_{5/2}$ states were detd. from a moment anal. of the MCD and absorption spectra of the 450.3-nm band. The present study indicates the power of the combination of MCD and matrix isolation for the assignment of excited electronic states of high temp. mol.

44,17

C.A.1981.94,18

оттиск 11697 1980

TaO

10 Б121. Спектр магнитного кругового дихроизма
TaO изолированного в матрице. Brittain R., Po-
well D., Kreglewski M., Vala M. The magnetic
circular dichroism spectrum of matrix-isolated TaO.
«Chem. Phys.», 1980, 54, № 1, 71—78 (англ.)

В области 300—850 нм измерены спектры поглощения (СП) и магнитного кругового дихроизма (МКД) молекулы TaO изолированной в Ag матрице ($T=14—24$ К). Наблюдалось 14 электронных переходов (половина из них впервые), для к-рых указаны λ (0,0), v (0,0), знак МКД и дано отнесение (Ω и Λ) возбужденных электронных состояний. В ряде случаев на основании разного знака МКД удалось установить наличие двух перекрывающихся переходов, хотя в оптич. спектре при этом наблюдалась только одна полоса поглощения. Полученные данные по положению полос и интерпретация переходов сопоставлены с результатами предшествующих исследований спектров молекулы TaO в газ. фазе

Х. 1981. № 10.

и в матрице. Из анализа моментов СП и МКД для полосы 450,3 нм не перекрывающейся с др. полосами определены g -факторы для верхнего $L^2\Phi_{5/2}$ и нижнего $X^2\Delta_{3/2}$ электронных состояний молекулы (соотв. $1,05 \pm 0,15$ и $0,48 \pm 0,02$). Найденная величина g -фактора для основного состояния значительно меньше, чем следует ожидать для случая чистого a -типа связи по Гунду. Предполагается, что это связано с сильным спин-орбитальным взаимодействием с другими состояниями $^2\Pi_{3/2}$, $^2\Delta_{3/2}$ или $^4\Phi_{3/2}$.

В. М. Ковба

отмеч 11697

1980

TaO

4 Д495. Спектр магнитного циркулярного дихроизма TaO в условиях матричной изоляции. The magnetic circular dichroism spectrum of matrix-isolated TaO. Brittain Robert, Powell David, Kreglewski Marek, Vala Martin. «Chem. Phys.», 1980, 54, № 1, 71—78 (англ.)

В спектральном диапазоне 300—850 нм при т-рах: 14 и 24° К исследованы спектры поглощения и магнитного циркулярного дихроизма молекул TaO, изолированных в матрице твердого аргона. Из анализа полученных спектров определены квантовые числа полных угловых моментов 14 возбужденных электронных состояний. На основании анализа температурной зависимости С-члена магнитного циркулярного дихроизма полосы поглощения 450,3 нм определено значение

спектр
поглощ.

Ф. 1981 № 4

g-фактора основного электронного состояния. Отличие эксперим. значения *g*-фактора от предсказанного теоретически приписано эффекту сильного спин-орбитального взаимодействия. Отмечена эффективность совместного применения магнитооптич. спектроскопии и метода матричной изоляции для отождествления возбужденных состояний высокотемпературных молекул.

Библ. 17.

В. С. З.

TaD

[Ori. 20391]

1983

Sassenberg U.,

Inaugural dissertation,
Institute of Physics,
University of Stockholm
S-113 46 Stockholm,
1983.

M.N.
Ozop

TaD

Om. 16924

1983

meop.
paerem

Szöke S., Rajkulu V.,
et al.,

Acta Chim. Hung., 1983,
113, N1, 35-39.

Tao

(om. 28054)

1987

Dyke J.M., Ellis A.M.,
et al.

J. Chem. Soc. Faraday
Trans., 1987, Pt 2, 83,
. N8, ● 1555-1565.

TaO

1994

Kazenac E.K.,
Tempov A.A. et al.

(D_0^0)

Nemachev. 1994. N5,
C. 20-23.

(cels. Ta_2O_5 ; III)

Tad

1997

Karakchetyev G.V.,

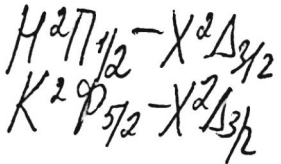
g, Do,
akadem
onrovien.

Zh. fiz. khim. 1997,
H(4), 755-757

(cell. TiO₂) — III

1998

TaO



129: 251931f Fourier transform emission spectroscopy of TaO.
 Ram, R. S.; Bernath, P. F. (Department of Chemistry, University of Arizona, Tucson, AZ 85721 USA). *J. Mol. Spectrosc.* 1998, 191(1), 125–136 (Eng), Academic Press. The emission spectrum of TaO, excited in a Ta hollow cathode lamp, was obsd. at high resoln. using a Fourier-transform spectrometer. In addn. to previously known transitions, a no. of new bands were identified and assigned as belonging to 2 new electronic transitions: $H^2\Pi_{1/2} - X^2\Delta_{3/2}$ and $K^2\Phi_{5/2} - X^2\Delta_{3/2}$. A rotational anal. of the 0–0 and 0–1 bands of the $H^2\Pi_{1/2} - X^2\Delta_{3/2}$ transition and of the 0–1, 1–2, 0–0, 1–0, and 2–1 bands of the $K^2\Phi_{5/2} - X^2\Delta_{3/2}$ transition was carried out, providing the following equil. consts. for the ground $X^2\Delta_{3/2}$ state: $\omega_0 = 1028.9060(15) \text{ cm}^{-1}$, $\omega_0x_0 = 3.58928(66) \text{ cm}^{-1}$, $B_0 = 0.4028973(139) \text{ cm}^{-1}$, $a_0 = 0.00185445(83) \text{ cm}^{-1}$, and $r_0 = 1.6873430$.

C.A. 1998,

129, N 19

(29) Å. The principal mol. consts. for the $H^2\Pi_{1/2}$ state are $T_{00} = 20,634.32758(40) \text{ cm}^{-1}$, $B_0 = 0.3766867(31) \text{ cm}^{-1}$, and $r_0 = 1.7450604-(72) \text{ Å}$, while the equil. consts. for the $K^2\Phi_{5/2}$ state are $\omega_e = 905.4549-(15) \text{ cm}^{-1}$, $\omega_{ex_e} = 3.67601(64) \text{ cm}^{-1}$, $B_e = 0.37965102(36) \text{ cm}^{-1}$, $\alpha_e = 0.00189370(21) \text{ cm}^{-1}$, and $r_e = 1.7382343(8) \text{ Å}$. Although the $H^2\Pi_{1/2}$ and $K^2\Phi_{5/2}$ states were obsd. previously in matrix isolation expts., the work on these states is the 1st in the gas phase. (c) 1998 Academic Press.

F: TaO

P: 3

132:56396

Spectroscopy of TaO. Al-Khalili, A.; Hallsten, U.; Launila, O. Department of Physics, Stockholm University Stockholm S-11385, Swed.

1999

J. Mol. Spectrosc., 198(2), 230-238 (English)

1999 Emission bands of TaO between 7000 and 28,000 cm⁻¹ were recorded with FTS techniques using an electrodeless 2450-MHz discharge and an online monitoring MES spectrometer. Transitions involving 14 electronic substates combining with the X2.DELTA. ground state were analyzed. One of these states was not reported earlier. Three of these 14 states have transitions to both sublevels of the ground state, hence the ground state (a regular 2.DELTA. state) parameters were not only improved, but the authors

C.A.2000, 132

also for the 1st time applied a Hund's case (a) description to it. In addn. to these states, two addnl. states were analyzed from a previously unreported band at ~10,000 cm⁻¹; neither of these states combines with either the ground state or with the 14 excited states of this work. It was assumed that a 2.SIGMA. state is involved in this transition.

An interesting feature in this work is a local perturbation in the P' state. The term value representation of the perturbation shows a deriv.-like shape with normal (unperturbed) intensity variation around the center of the perturbation. A three-level interaction scheme was used to model this perturbation.

F: TaO

P: 3

130:303395 Matrix-isolation infrared
spectroscopic studies on ablated pro from laser
ablation of Ta₂O₅ and Ta in ambient O₂/Ar gas.

Chen, Mohua; Wa Zhang, Luning; Yu, Min;
Qin, Qizong (Laser Chemistry Institute, Fudan Uni
200433, Peop. a). Chem. Phys., 242(1), 81-90
(English) 1999 Using matrix-isolation IR
spectroscopy, 532 nm pulsed laser ablation of
targets in O₂/Ar gas ambient was studied. The
major ablated products of oxides are the neutrals
TaO, TaO₂, (O₂)TaO₂, and the anions TaO₂⁻, TaO₃⁻,
TaO⁺, TaO₂⁺ in minority. The obsd. IR absorptions
of these Ta-contg. oxi by DFT calcns. of
vibrational fundamentals. The formation reaction
chann products during the laser ablation process
were discussed.

1999

1999

F: TaO+

P: 3

130:303395 Matrix-isolation infrared
spectroscopic studies on ablated pro from
laser ablation of Ta₂O₅ and Ta in ambient O₂/Ar
gas. Chen, Mohua; Wa Zhang, Luning; Yu, Min;
Qin, Qizong (Laser Chemistry Institute, Fudan
Uni 200433, Peop. a). Chem. Phys., 242(1),
81-90 (English) 1999 Using matrix-isolation
IR spectroscopy, 532 nm pulsed laser ablation
of targets in O₂/Ar gas ambient was studied.
The major ablated products of oxides are the
neutrals TaO, TaO₂, (O₂)TaO₂, and the anions
TaO₂⁻, TaO₃⁻, TaO⁺, TaO₂⁺ in minority. The
obsd. IR absorptions of these Ta-contg. oxi by

DFT calcns. of vibrational fundamentals. The formation reaction chann products during the laser ablation process were discussed.

TaO Emission spectroscopy of two new systems of TaO

2003

R. S. Ram^a and P. F. Bernath^b, ^c, ^{a, b}

Journal of Molecular Spectroscopy

Volume 221, Issue 1, September 2003, Pages 7-12

The TaO molecule was inadvertently formed by exciting a mixture of TaCl₅ vapor and He in a microwave discharge lamp, and the spectra from the near infrared to the near ultraviolet regions were recorded at high resolution using a Fourier transform spectrometer. Two new bands observed near 23 520 and 25 010 cm⁻¹ have been identified as 0-0 bands of two new electronic transitions. The lower state of these transitions is the same as the lower state of a transition near 10 000 cm⁻¹ recently seen by Al-Khalili et al. [J. Mol. Spectrosc. 198 (1999) 230]. A combined fit of the lines of the new transitions and those of the near infrared transition has provided an improved set of spectroscopic constants. The nature of the new electronic transitions is not clear and we have considered both the $^2\Delta_{5/2}-^2\Pi_{3/2}$ and the $^4\Pi_{5/2}-^4\Sigma_{3/2}^-$ possibilities.